

# <sup>18</sup>F-阿法肽的自动化制备及其前列腺癌 PET/CT 显像

陈礼平<sup>1</sup> 潘栋辉<sup>2</sup> 张雨<sup>1</sup> 杜晓庆<sup>1</sup> 贺慧慧<sup>1</sup> 杨敏<sup>2</sup> 郁春景<sup>1</sup>

<sup>1</sup>江南大学附属医院、无锡市第四人民医院核医学科 214062; <sup>2</sup>国家卫生健康委员会核医学重点实验室、江苏省分子核医学重点实验室、江苏省原子医学研究所,江苏省无锡市 214063

通信作者: 郁春景, Email: ycj\_wxd1978@163.com

**【摘要】目的** 探讨基于 CFN-100 氟多功能模块自动化制备<sup>18</sup>F-阿法肽(Alfatide II)的方法并进行前列腺癌显像。**方法** 通过氟离子分装器分出 200~500 μl 氟离子至反应管中,与标记前体 1,4,7-三氮杂环壬烷-1,4,7-三乙酸-E[(聚乙二醇)]<sub>4</sub>-环(精氨酸-甘氨酸-天冬氨酸-D-苯丙氨酸-酪氨酸)]<sub>2</sub>{NOTA-E[PEG<sub>4</sub>-c(RGDFk)]<sub>2</sub>} (冻干药盒)反应,在水相中与<sup>18</sup>F 经铝介导螯合标记,再经 C18 柱分离纯化,自动化制备得到<sup>18</sup>F-阿法肽,测定其放化产率。对<sup>18</sup>F-阿法肽注射液进行质量分析,并对 2 例前列腺癌患者(72 岁和 66 岁)行<sup>18</sup>F-阿法肽 PET/CT 显像。**结果** 采用结合双管路氟离子分装器的 CFN-100 氟多功能模块成功自动化制备<sup>18</sup>F-阿法肽,合成时间约 30 min, 放化产率为(28±3)% (非衰变校正, n=6), 放化纯>98%, 比活度为  $2.8 \times 10^7$  MBq/mmol, 核素纯度大于 99%。2 例患者 PET/CT 显像示<sup>18</sup>F-阿法肽高度浓聚于前列腺癌病灶,最大标准摄取值(SUV<sub>max</sub>)分别为 35.6 和 5.0。**结论** 利用改进的 CFN-100 氟多功能模块成功自动化制备<sup>18</sup>F-阿法肽,产物合成方法稳定,合成时间短,放化产率高,可高度浓聚于前列腺癌病灶。

**【关键词】** 肽类, 环; 精氨酸-甘氨酸-天冬氨酸; 氟放射性同位素; 化学技术, 合成; 前列腺肿瘤; 正电子发射断层显像术; 体层摄影术, X 线计算机

**基金项目:** 无锡市科技发展资金 (WX0303B010518180012PB); 江苏省医学创新团队 (CXTDA2017024)

DOI:10.3760/cma.j.cn321828-20191219-00295

## Automatic preparation of <sup>18</sup>F-Alfatide II and its PET/CT imaging in prostate cancer

Chen Liping<sup>1</sup>, Pan Donghui<sup>2</sup>, Zhang Yu<sup>1</sup>, Du Xiaoqing<sup>1</sup>, He Huihui<sup>1</sup>, Yang Min<sup>2</sup>, Yu Chunjing<sup>1</sup>

<sup>1</sup>Department of Nuclear Medicine, Affiliated Hospital of Jiangnan University, the Fourth People's Hospital of Wuxi, Wuxi 214062, China; <sup>2</sup>NHC Key Laboratory of Nuclear Medicine, Jiangsu Key Laboratory of Molecular Nuclear Medicine, Jiangsu Institute of Nuclear Medicine, Wuxi 214063, China

Corresponding author: Yu Chunjing, Email: ycj\_wxd1978@163.com

**[Abstract]** **Objective** To prepare <sup>18</sup>F-Alfatide II automatically based on the improved CFN-100 fluorine multifunctional module and assess its PET/CT imaging in prostate cancer patients. **Methods** A certain volume (200~500 μl) of fluoride ion was separated into the reaction tube by a fluoride ion separator and reacted with the labeled precursor 1,4,7-triazacyclononane-1,4,7-triacetic acid-E[(polyethylene glycol)<sub>4</sub>-cyclo(Arg-Gly-Asp-D-Phe-Tyr)]<sub>2</sub>(NOTA-E[PEG<sub>4</sub>-c(RGDFk)]<sub>2</sub>) (lyophilized kit). In the aqueous phase, <sup>18</sup>F was chelated with aluminum. After being separated and purified by C18 column, <sup>18</sup>F-Alfatide II was prepared automatically. The radiochemical yield and its quality were analyzed. Quality control was carried out and <sup>18</sup>F-Alfatide II PET/CT imaging was performed in 2 patients (72 and 66 years old) with prostate cancer. **Results** <sup>18</sup>F-Alfatide II was prepared automatically by the improved CFN-100 fluorine multifunctional module combined with a double channel-fluorine ion separation device. <sup>18</sup>F-Alfatide II was synthesized in about 30 min, with radiochemical yield of (28±3)% (non-decay corrected, n=6). The radiochemical purity of the product was more than 98%, the specific activity was  $2.8 \times 10^7$  MBq/mmol and the nuclear purity was >99%. PET/CT imaging of 2 patients showed that <sup>18</sup>F-Alfatide II were highly concentrated in prostate cancer lesions with the maximum standardized uptake value (SUV<sub>max</sub>) of 35.6 and 5.0, respectively.

**Conclusion** <sup>18</sup>F-Alfatide II can be prepared successfully by improved CFN-100 fluorine multifunctional module with stable synthesis method, short synthesis time and high radiochemical yield, which can be highly concentrated in prostate cancer.

**[Key words]** Peptides, cyclic; Arg-Gly-Asp; Fluorine radioisotopes; Chemistry techniques, synthetic; Prostatic neoplasms; Positron-emission tomography; Tomography, X-ray computed

**Fund program:** Fund for Scientific and Technological Development of Wuxi (WX0303B010518180012PB); Jiangsu Provincial Medical Innovation Team (CXTDA2017024)

DOI:10.3760/cma.j.cn321828-20191219-00295

<sup>18</sup>F-阿法肽(Alfatide II),即<sup>18</sup>F-AlF-1,4,7-三氮杂环壬烷-1,4,7-三乙酸-E[(聚乙二醇)]<sub>4</sub>-环(精氨酸-甘氨酸-天冬氨酸-D-苯丙氨酸-酪氨酸)]<sub>2</sub>{1,4,7-triazacyclonane-1,4,7-triacetic acid-E[(polyethylene glycol)]<sub>4</sub>-cyclo(Arg-Gly-Asp-D-Phe-Tyr)]<sub>2</sub>, NOTA-E[PEG<sub>4</sub>-c(RGDfk)]<sub>2</sub>}是靶向整合素α<sub>v</sub>β<sub>3</sub>受体的新型PET/CT分子影像探针。<sup>18</sup>F-阿法肽在肺癌、脑胶质瘤、乳腺癌、脑转移瘤等多种肿瘤的诊断、转移灶评估、放化疗疗效预测等方面具有较高的临床转化价值,与<sup>18</sup>F-脱氧葡萄糖(fluorodeoxyglucose, FDG)相比具有明显优势<sup>[1-5]</sup>,该药已于2018年获中国国家药品监督管理局临床试验批件。目前,制备<sup>18</sup>F-阿法肽主要使用冷冻试剂盒的手动标记法<sup>[6-8]</sup>,制备时通过多肽前体NOTA-E[PEG<sub>4</sub>-c(RGDfk)]<sub>2</sub>与<sup>18</sup>F-AlF间的鳌合反应,在水相中完成标记,分离无需高效液相色谱(high performance liquid chromatography, HPLC)纯化,制备过程简单、快速<sup>[8]</sup>;但手动标记方法会对制备人员造成一定辐射。本研究对现有商品化的CFN-100氟多功能模块进行改进,结合双管路的氟离子分装器<sup>[9]</sup>,采用油浴加热方式和C18柱分离的纯化方法自动化制备<sup>18</sup>F-阿法肽,现报道如下。

## 材料与方法

### 一、实验材料

1. 主要实验试剂和材料。标记前体NOTA-E[PEG<sub>4</sub>-c(RGDfk)]<sub>2</sub>(美国国立卫生研究院陈小元教授提供);冻干试剂盒(含前体、AlCl<sub>3</sub>;江苏省原子医学研究所);<sup>18</sup>O-H<sub>2</sub>O(上海化工研究院);AlCl<sub>3</sub>(北京百灵威科技有限公司);乙酸、无水乙腈、无水乙醇、浓HCl(国药集团上海化学试剂公司);HPLC级乙腈(上海凌峰化学试剂有限公司);注射用水(广东艾希德药业有限公司)。所有试剂未经纯化直接使用。无菌滤膜(Millex-GS,0.22 μm;美国Millipore公司);薄层硅胶板(德国Macherey-Nagel公司);pH试纸(上海馨晟试化工科技有限公司);阴离子树脂柱QMA(美国Waters公司)。

2. 实验仪器。CFN-100氟多功能药物合成模块、HM-10回旋加速器(日本住友公司);放射性薄

层色谱法(thin layer chromatography, TLC)扫描仪(美国Bioscan公司);CRC-25R型活度计(美国CAPINTEC公司);分析型HPLC分析仪(SS420X,Mod201系列;配可变波长检测器,美国Grace公司);分析型C18柱(5 μm,4.6 mm×250 mm;美国Grace公司);一体化多道分析仪(中国核工业总公司北京核仪器厂);安捷伦6820气相色谱仪(美国安捷伦公司);PET/CT仪(Biography 64 HD,德国Siemens公司)。

### 二、实验方法

1. 不同淋洗液中<sup>18</sup>F-阿法肽的制备方法比较。(1)使用阴离子树脂柱QMA捕获氟离子,分别使用300 μl的K<sub>2</sub>CO<sub>3</sub>/氨基聚醚(Kryptofix2.2.2, K2.2.2)溶液、NaHCO<sub>3</sub>溶液、CH<sub>3</sub>COONa溶液淋洗QMA<sup>[10]</sup>,加入前体后采用模块自动化气体加热标记的方式反应。(2)使用阴离子树脂柱QMA小柱捕获氟离子,分别采用40、60、80、100、300 μl 0.9%(体积分数)的NaCl溶液淋洗QMA,加入前体后采用手动标记的方式反应。

2. <sup>18</sup>F-阿法肽自动化放射合成模块的改进(图1)。将氟离子分装器与CFN-100氟多功能模块相结合,将微型三口反应瓶引入模块作为反应瓶1,靶水回收接口与其连接,试剂瓶1中加入前体,阀门70连接氮气,将此前的负压吸入改为正压压入前体,三口反应管一端接入阀门78废气系统,反应瓶1采用油浴加热方式反应。改造反应瓶2用于稀释粗产品,试剂瓶2中加入10 ml水用于稀释粗产品,在可编写程序中设计连接管路,并编写自动化学合成程序。

3. <sup>18</sup>F-阿法肽的自动化制备。<sup>18</sup>F-阿法肽放射化学合成路线见图2。将10~20 μl乙酸、20 μl纯水、冻干试剂盒{32 μg NOTA-E[PEG<sub>4</sub>-c(RGDfk)]<sub>2</sub>、6 μl 2 mmol/L AlCl<sub>3</sub>的冻干粉}溶解在1.0 ml乙腈中,加入到试剂瓶1中。预先加热油浴锅,准备就绪,关闭热室,运行编写的<sup>18</sup>F-阿法肽自动化学合成程序,控制CFN-100氟多功能模块完成自动化学合成步骤。

参照图1通过<sup>18</sup>O(p,n)<sup>18</sup>F核反应,用55 μA质子束流连续轰击<sup>18</sup>O-H<sub>2</sub>O靶50 min得到<sup>18</sup>F<sup>-</sup>(40.7~44.4 GBq),轰击结束后,利用气动方式将含有氟离

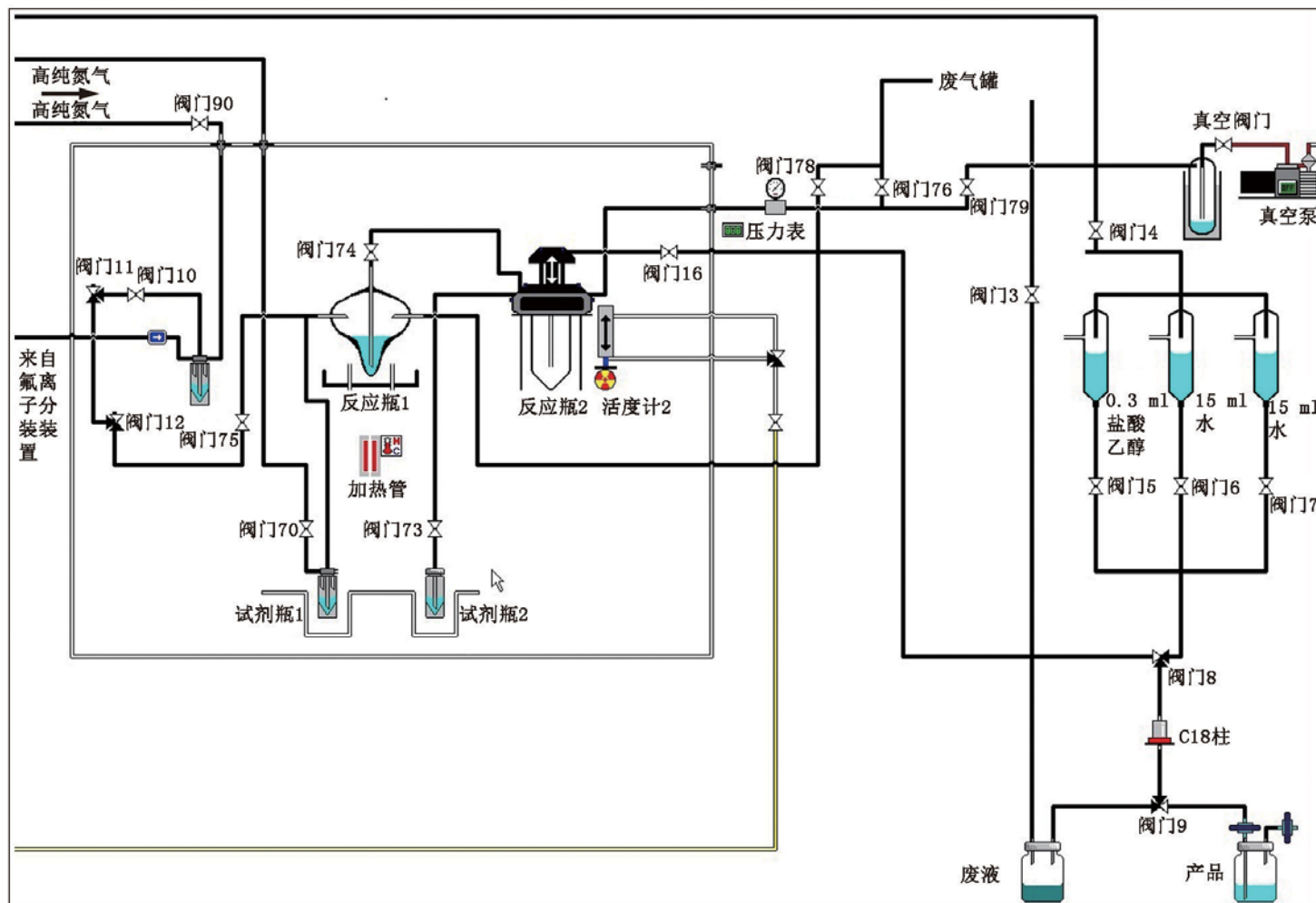


图 1 改进的自动化制备<sup>18</sup>F-阿法肽(<sup>18</sup>F-Alfatide II)的CFN-100氟多功能模块示意图。试剂瓶1:冻干粉前体溶解在1 ml乙腈中;试剂瓶2:10 ml水,合成中阀门70连接氮气正压将反应前体压入至反应瓶1中,原模块的反应瓶2用于稀释反应后粗产品

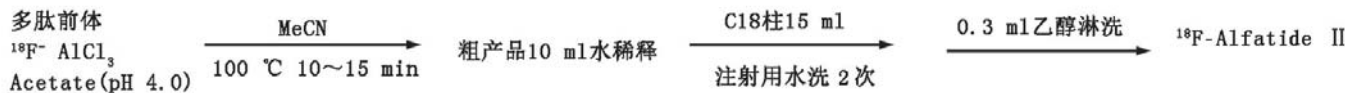


图2 <sup>18</sup>F-阿法肽的放射化学合成路线图。Acetate为乙酸, MeCN为乙腈, 多肽前体为1,4,7-三氮杂环壬烷-1,4,7-三乙酸-E[聚乙二醇]<sub>4</sub>-环(精氨酸-甘氨酸-天冬氨酸-D-苯丙氨酸-酪氨酸)]<sub>2</sub>

子的<sup>18</sup>O-H<sub>2</sub>O传入到<sup>18</sup>F<sup>-</sup>自动分装器上,控制传靶时间分出200~500 μl的<sup>18</sup>F<sup>-</sup>(3.78~9.45 GBq)至CFN-100氟多功能模块的中转瓶中,再将中转瓶中的<sup>18</sup>F<sup>-</sup>转移至反应瓶1中;通过正压将试剂瓶1中的前体转移到反应瓶1中混合,油浴100 °C反应10~15 min得到粗产物,将粗产物直接转移至反应瓶2中;冷却后将试剂瓶2中10 ml水转移至反应瓶2中,以稀释粗产品,稀释液转移至C18柱吸附,分2次用15 ml水洗涤C18柱;用0.3 ml HCl-C<sub>2</sub>H<sub>5</sub>OH溶液(10 mmol/L)淋洗C18柱;加入10 ml生理盐水稀释,经过无菌滤膜,最后得到<sup>18</sup>F-阿法肽注射液。

4. <sup>18</sup>F-阿法肽的质量控制。采用分析型放射性HPLC(5 μm, 250 mm×4.6 mm)检测<sup>18</sup>F-阿法肽放化纯,采取218 nm紫外(UV)和放射性检

测器,流速为1 ml/min,流动相为溶液A(水,含体积分数0.1%三氟乙酸)和溶液B(乙腈,含体积分数0.1%三氟乙酸),梯度:0~2 min, 95%A和5%B;2~30 min逐渐变为35%A和65%B。放射性TLC扫描仪检测放化纯,以体积分数50%丙酮生理盐水溶液作展开剂,硅胶纸层析。目测产品颜色和透明度,利用精密试纸测定产品pH值。使用气相色谱仪石英毛细管色谱柱(30 m×0.32 mm, 0.5 μm)、氮气为载气,测量溶液中乙腈残留量。检测3个批次产品的细菌内毒素、无菌性。

5. <sup>18</sup>F-阿法肽PET/CT显像。本研究显像经无锡市第四人民医院医学伦理委员会审查通过(批件号:LS2011051),患者均签署知情同意书。2例患者(72岁和66岁)检查前未做特殊准备,按体质量静

脉注射<sup>18</sup>F-阿法肽 3.70 MBq/kg, 安静休息 60 min 后行 PET/CT 显像。CT 扫描参数: 120 kV, 40~100 mA (根据体质量), 扫描层厚 5 mm, 重建层厚 5 mm; PET 扫描参数: 2 min/床位, 三维采集。采用有序子集最大期望值迭代法重建图像, 矩阵 128×128, 图像层厚 5 mm, 以横断面、冠状面和矢状面进行图像显示及图像融合。

6. 统计学处理。采用 IBM SPSS 17.0 软件处理数据, 符合正态分布的定量资料以  $\bar{x} \pm s$  表示。

## 结 果

方法(1)制备中,  $K_2CO_3/K2.2.2$  溶液、 $NaHCO_3$  溶液、 $CH_3COONa$  溶液均能高效淋洗 QMA 捕获的氟离子, 但螯合反应后转移至 C18 柱上, 废液瓶中有大部分氟离子, 柱子残留 10% 放射性物质, 用 0.3 ml HCl- $C_2H_5OH$  溶液淋洗 C18 柱, 捕获的放射性物质仍残留于柱子上。方法(2)制备中, 40  $\mu$ l 0.9% (体积分数) NaCl 溶液能有效淋洗 QMA 小柱捕获的氟离子, 反应产率约 30%。当淋洗液增至 80  $\mu$ l 时, 反应被抑制; 采用 300  $\mu$ l 0.9% (体积分数) NaCl 溶液淋洗 QMA 柱进行自动化反应时, 反应后废液中有大部分氟离子未参与反应。残留于 C18 柱的 10% 放射性物质不能被淋洗到产品瓶中。

鉴于前几种制备结果不理想, 本研究在原有模块基础上, 利用改进的自动化氟多功能合成模块和控制程序, 成功自动化制备<sup>18</sup>F-阿法肽。总制备时间约 30 min, 放化产率为(28±3)% (非衰变校正,  $n=6$ ), 合成量为 1.13~2.83 GBq。<sup>18</sup>F-阿法肽注射液为澄清透明溶液, pH 值 6.0~7.0, 放化纯>98%, 核素纯度大于 99%, 产品放置 1、2、4 h 后的放化纯均>96%, 稳定性好。<sup>18</sup>F-阿法肽放射性峰保留时间约为 17.8 min, 比活度  $2.8 \times 10^7$  MBq/mmol。注射液中乙腈含量为  $3.4 \times 10^{-5}$  mg/L, 乙醇含量<5%。细菌内毒素<15 EU/ml, 无菌实验检查结果为阴性。

前列腺癌患者<sup>18</sup>F-阿法肽 PET/CT 显像见图 3。最大密度投影图示显像剂主要在肝、双肾、脾及胃肠道部分区域浓聚, 膀胱内可见明显浓聚。2 例患者正常前列腺组织摄取均低, 前列腺外周带癌灶区域均呈局限性高摄取, 病灶最大标准摄取值 (maximum standardized uptake value, SUV<sub>max</sub>) 分别为 35.6 和 5.0。

## 讨 论

<sup>18</sup>F-阿法肽在肿瘤显像临床应用中表现出越来越重要的价值, 但常规制备方法采用手动标记, 合成

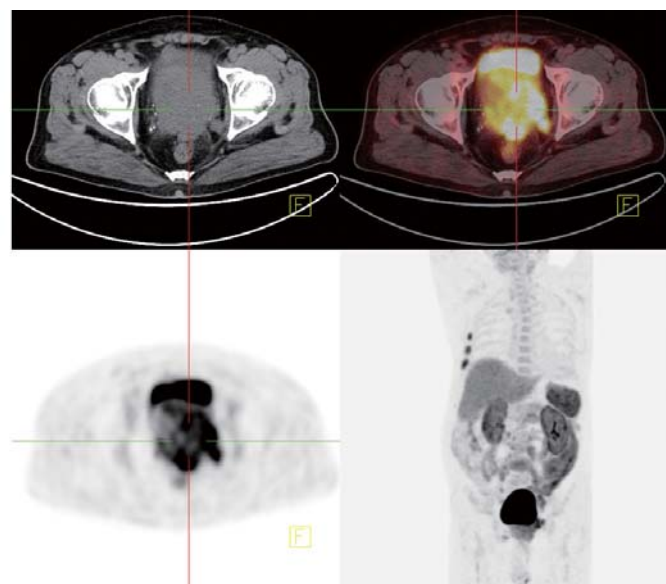


图 3 前列腺癌患者(72岁)<sup>18</sup>F-阿法肽 PET/CT 显像图。平扫 CT 示前列腺明显增大, 形态失常, 推挤膀胱; PET/CT 图像示前列腺内放射性摄取不均匀增高, 病灶最大标准摄取值 ( $SUV_{max}$ ) 为 35.6; 最大密度投影 (MIP) 图示显像剂主要在肝、双肾、脾及部分胃肠道浓聚, 膀胱内见明显浓聚

人员会受较大辐射, 因此有必要研究基于现有商品化模块的自动化标记方法。目前仅见基于新型微流体芯片的<sup>18</sup>F-阿法肽自动化合成报道<sup>[10]</sup>。本研究对 CFN-100 氟多功能模块进行改进, 成功合成<sup>18</sup>F-阿法肽。

在合成条件方面, 本研究进行了多次尝试。起初分别采用 300  $\mu$ l  $K_2CO_3/K2.2.2$  溶液、 $NaHCO_3$  溶液、 $CH_3COONa$  溶液淋洗 QMA 柱, 气体加热方式反应, 粗产物通过 C18 柱分离, 淋洗液虽能高效淋洗氟离子, 但反应后粗产物大部分以氟离子进入废液瓶, 柱子残留 10% 放射性物质, 且残留物质用 0.3 ml HCl- $C_2H_5OH$  溶液难以淋洗。尝试采用手动油浴加热标记方法研究反应条件, 用不同体积 0.9% (体积分数) NaCl 溶液淋洗 QMA 柱, 当 NaCl 溶液体积增至 80  $\mu$ l 时, 反应产率从常规标记的 30% 左右急剧下降, 反应被抑制, 这可能因为溶液中的氯离子在螯合反应中与氟离子竞争, 导致反应被抑制。

本研究在手动油浴加热方式标记的基础上, 以氟离子分装器和商品化 CFN-100 氟多功能模块为基础, 通过改进模块自动化合成<sup>18</sup>F-阿法肽注射液。一方面, 通过单次打靶可分出用于合成<sup>18</sup>F-阿法肽的氟离子, 剩余的氟离子可用于常规的<sup>18</sup>F-FDG 的合成, 实现了单次打靶可自动化制备 2 种药物, 节省了制备成本。另一方面, 自动化制备可避免合成人员所受的放射性照射。

利用改进的 CFN-100 氟多功能模块, 本研究成功自动化制备了<sup>18</sup>F-阿法肽, 总制备时间约为 30 min, 放

射化学产率为(28±3)% (非衰变校正,  $n=6$ ), 合成量为1.13~2.83 GBq, 放化纯>98%, 比活度大于 $2.8\times10^7$  MBq/mmol, TLC检测示其放置1、2、4 h后的放化纯均超过96%, 产品稳定性好。合成产物残留乙腈溶剂含量为 $3.4\times10^{-5}$  mg/L, 符合《中华人民共和国药典(2015年版四部)》要求<sup>[11]</sup>, 淋洗试剂乙醇含量<5%。本研究通过氟离子分装器分出适量体积的氟离子, 控制分离出一定体积的氟离子, 通过控制加入前体中乙酸的量来控制反应的pH值, 从而实现稳定制备<sup>18</sup>F-阿法肽, 制得的注射液放化产率和纯度均稳定。<sup>18</sup>F-阿法肽是靶向整合素 $\alpha_v\beta_3$ 受体的分子探针, 在肺癌、乳腺癌显像研究中已有广泛应用。<sup>18</sup>F-FDG是肿瘤PET/CT显像最常使用的显像剂, 但只有少数的前列腺癌有较高的糖酵解率, 这限制了<sup>18</sup>F-FDG PET/CT显像在前列腺癌中的应用。本研究中对2例前列腺癌患者行<sup>18</sup>F-阿法肽PET/CT显像, 结果显示显像剂主要在肝、双肾、脾及部分胃肠道浓聚, 膀胱内见明显浓聚; 正常前列腺组织摄取低, 而前列腺外周带癌灶区域呈局限性高摄取, 患者病灶SUV<sub>max</sub>分别为5.0和35.6, 表明药物高度浓聚于前列腺癌灶, 具有良好的显像效果。但本研究制备方法也有不足之处: 由于是使用氟离子分装器分出一定量的氟离子来制备<sup>18</sup>F-阿法肽, 仅可满足医疗机构自行制备的药物显像, 不能用于产业化供货, 大剂量<sup>18</sup>F-阿法肽的制备还需进一步研究。

综上, 本研究通过改进的CFN-100氟多功能模块, 成功制备<sup>18</sup>F-阿法肽, 产物稳定, 放化纯高, 前列腺癌显像效果良好。

**利益冲突** 所有作者均声明不存在利益冲突

## 参考文献

- [1] Wu J, Wang S, Zhang X, et al. <sup>18</sup>F-Alfatide II PET/CT for identification of breast cancer: a preliminary clinical study[J]. J Nucl Med, 2018, 59(12): 1809-1816. DOI: 10.2967/jnumed.118.208637.
- [2] 王立振, 罗世能, 杨敏, 等. 靶向整合素 $\alpha_v\beta_3$ 探针用于甲状腺乳头状癌显像的研究[J]. 中华核医学与分子影像杂志, 2014, 34(5): 374-378. DOI: 10.3760/cma.j.issn.2095-2848.2014.05.009. Wang LZ, Luo SN, Yang M, et al. MicroPET imaging of papillary thyroid carcinoma with a specific integrin  $\alpha_v\beta_3$  probe[J]. Chin J Nucl Med Mol Imaging, 2014, 34(5): 374-378. DOI: 10.3760/

cma.j.issn.2095-2848.2014.05.009.

- [3] Yu C, Pan D, Mi B, et al. <sup>18</sup>F-Alfatide II PET/CT in healthy human volunteers and patients with brain metastases[J]. Eur J Nucl Med Mol Imaging, 2015, 42(13): 2021-2028. DOI: 10.1007/s00259-015-3118-2.
- [4] Luan X, Huang Y, Gao S, et al. <sup>18</sup>F-alfatide PET/CT may predict short-term outcome of concurrent chemoradiotherapy in patients with advanced non-small cell lung cancer[J]. Eur J Nucl Med Mol Imaging, 2016, 43(13): 2336-2342. DOI: 10.1007/s00259-016-3505-3.
- [5] Cui Y, Liu H, Liang S, et al. The feasibility of <sup>18</sup>F-AlF-NOTA-PRGD2 PET/CT for monitoring early response of Endostar antangiogenic therapy in human nasopharyngeal carcinoma xenograft model compared with <sup>18</sup>F-FDG[J]. Oncotarget, 2016, 7(19): 27243-27254. DOI: 10.18633/oncotarget.8402.
- [6] Wu C, Yue X, Lang L, et al. Longitudinal PET imaging of muscular inflammation using <sup>18</sup>F-DPA-714 and <sup>18</sup>F-Alfatide II and differentiation with tumors[J]. Theranostics, 2014, 4(5): 546-555. DOI: 10.7150/thno.8159.
- [7] Wan W, Guo N, Pan D, et al. First experience of <sup>18</sup>F-Alfatide in lung cancer patients using a new lyophilized kit for rapid radiofluorination[J]. J Nucl Med, 2013, 54(5): 691-698. DOI: 10.2967/jnumed.112.113563.
- [8] Liu S, Liu H, Jiang H, et al. One-step radiosynthesis of <sup>18</sup>F-AlF-NOTA-RGD<sub>2</sub> for tumor angiogenesis PET imaging[J]. Eur J Nucl Med Mol Imaging, 2011, 38(9): 1732-1741. DOI: 10.1007/s00259-011-1847-4.
- [9] 张雨, 程亮, 陈礼平, 等. 一种<sup>18</sup>F离子分路传输切换装置: 中国, 20886068.9[P/OL]. 2017-05-10[2019-12-18]. <http://cprs.patentstar.com.cn/Search/Detail?ANE=7BEA7AHA9GGE9DDD9HCC4EAA9BDD9ACB9BDB8GCA9HD-H9BAA>. Zhang Y, Cheng L, Chen LP, et al. A switching device of <sup>18</sup>F ion: China, 20886068.9[P/OL]. 2017-05-10[2019-12-18]. <http://cprs.patentstar.com.cn/Search/Detail?ANE=7BEA7AHA9GGE9DDD9HCC4EAA9BDD9ACB9BDB8GCA9HD-H9BAA>.
- [10] 张健, 周晓宝, 石琴, 等. 基于新型<sup>18</sup>F微反应器的<sup>18</sup>F-阿法肽的自动化制备及microPET/CT显像[J]. 中华核医学与分子影像杂志, 2019, 39(4): 196-200. DOI: 10.3760/cma.j.issn.2095-2848.2019.04.002. Zhang J, Zhou XB, Shi Q, et al. <sup>18</sup>F-Alfatide II automated preparation based on <sup>18</sup>F-minireactor and microPET/CT imaging in tumor[J]. Chin J Nucl Med Mol Imaging, 2019, 39(4): 196-200. DOI: 10.3760/ema.j.issn.2095-2848.2019.04.002.
- [11] 国家药典委员会. 中华人民共和国药典(2015年版四部)[M]. 北京: 中国医药科技出版社, 2015: 136-157. Chinese Pharmacopoeia Commission. Pharmacopoeia of the People's Republic of China (2015 version IV)[M]. Beijing: China Pharmaceutical Science and Technology Press, 2015: 136-157.

(收稿日期: 2019-12-19)